

(19)



Europäisches Patentamt  
European Patent Office  
Office européen des brevets



(11)

EP 0 820 972 A1

(12)

## DEMANDE DE BREVET EUROPEEN

(43) Date de publication:  
28.01.1998 Bulletin 1998/05

(51) Int Cl.<sup>6</sup>: C07C 9/00, C07C 7/13  
// C10G25/03

(21) Numéro de dépôt: 97401438.3

(22) Date de dépôt: 20.06.1997

(84) Etats contractants désignés:  
AT BE CH DE DK ES FI FR GB GR IE IT LI LU MC  
NL PT SE  
Etats d'extension désignés:  
AL LT LV RO SI

(72) Inventeurs:  
• Ambrosino, Jean-Louis  
69360 Ternay (FR)  
• Chansolme, Alain  
78400 Chatou (FR)  
• Wiss-Henrard, Valérie  
78220 Viroflay (FR)

(30) Priorité: 26.07.1996 FR 9609551

(71) Demandeur: Institut Français du Pétrole  
92852 Rueil-Malmaison Cedex (FR)

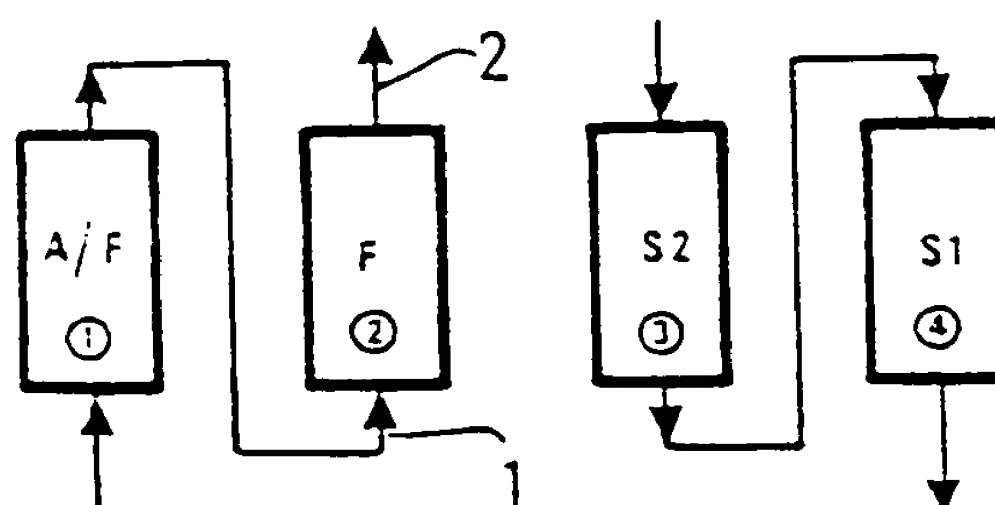
(54) Procédé de séparation isoalcanes/n-alcanes par adsorption en phase gazeuse utilisant une modulation de pression et quatre adsorbeurs

(57) Le procédé décrit utilise quatre adsorbeurs de 1 à 4, fonctionnant chacun selon un cycle qui, décrit pour l'adsorbeur 2, comprend: une étape 1 d'adsorption dans laquelle on fait circuler sur l'adsorbeur 2 une charge provenant de l'adsorbeur 1; une étape 2 d'adsorption dans laquelle on injecte la charge au bas de l'adsorbeur 2 et on récupère un produit riche en isoparaffines en tête de l'adsorbeur 2°; une étape 3 d'adsorption dans laquelle on envoie une partie du fluide de sortie de l'adsorbeur 2 vers l'adsorbeur 3; une étape 4 d'adsorption dans laquelle on connecte la tête de l'adsorbeur 2 recevant la charge, au bas de l'adsorbeur 3; une étape 5 de première dépressurisation dans laquelle on connecte l'adsorbeur 2 à haute pression avec l'adsorbeur 4 à une pression plus faible; une étape 6 de seconde dépressurisation dans laquelle la tête de l'adsorbeur 2

est fermée; une étape 7 de balayage dans laquelle on connecte le bas de l'adsorbeur 1, qui reçoit en tête le désorbant, au haut de l'adsorbeur 2; deux étapes 8 et 9 de balayage principal dans lesquelles on alimente uniquement l'adsorbeur 2 par le désorbant; une étape 10 de finition du balayage dans laquelle on continue à alimenter en désorbant l'adsorbeur 2 et on connecte la sortie dudit adsorbeur 2 à l'adsorbeur 3; une étape 11 de première pressurisation jusqu'à une pression intermédiaire dans laquelle on connecte les adsorbeurs 2 et 4 par le bas; et une étape 12 de seconde pressurisation dans laquelle on introduit au bas de l'adsorbeur 2 un flux provenant en partie de l'effluent de l'adsorbeur 1.

La charge traitée peut provenir plus particulièrement d'une unité d'isomérisation des C5/C6. L'effluent de désorption peut alors être recyclé vers celle-ci dans les étapes 6, 7, 8 et 9.

FIG.1



## Description

La présente invention est relative à un procédé d'adsorption et plus particulièrement à un procédé d'adsorption en phase vapeur mettant en jeu des mécanismes de séparation basés sur des phénomènes d'exclusion ou de différence d'adsorption.

Elle concerne plus particulièrement un procédé de séparation utilisant de façon judicieuse les enchaînements de séquences dans un PSA afin de diminuer le rôle pénalisant de la zone de transfert de matière.

La présente invention s'applique à la séparation par adsorption sur tamis zéolithique d'un mélange de paraffines linéaires d'un mélange de paraffines non linéaires et plus particulièrement la séparation d'iso-paraffines et de paraffines normales à partir d'une charge d'hydrocarbures en contenant. Plus particulièrement encore, la charge d'hydrocarbures à traiter provient d'une opération d'isomérisation d'une coupe d'hydrocarbures en C5/C6.

Le PSA (abréviation de l'anglais "Pressure Swing Adsorption") est un procédé d'adsorption dans lequel un mélange gazeux est mis en contact avec un lit fixe d'adsorbant à haute pression afin d'éliminer certains constituants dits "adsorbables" du mélange. Même si la désorption peut être réalisée par différents moyens, la caractéristique commune de la famille des PSA est d'effectuer la régénération du lit par dépressurisation et, dans certains cas, par balayage à basse pression.

Ces PSA ont remporté de nombreux succès dans le domaine du gaz naturel, de la séparation des composés de l'air, de la production de solvants et dans différents secteurs du raffinage. Une revue des étapes importantes du développement des PSA a été donnée en 1984 dans un article de l'"AIChE Symposium Series" intitulé "Twenty Five Years Progress in Adiabatic Adsorption Process" par R.T. Cassidy et E.S. Holmes.

Les procédés de séparation par PSA fournissent un moyen économique et efficace pour séparer les constituants d'un gaz contenant au moins deux composés ayant des caractéristiques d'adsorption différentes. Le constituant adsorbable peut être une impureté à éliminer du constituant le moins adsorbable, ce dernier étant alors récupéré comme produit. Ou bien c'est le produit le plus adsorbable qui est désiré et doit être séparé du constituant le moins adsorbable. Par exemple, on peut vouloir éliminer le monoxyde de carbone et les composés légers à partir d'un flux riche en hydrogène pour produire de l'hydrogène à une pureté supérieure à 99 %, utilisable dans un hydrocracking ou tout autre procédé catalytique, dans lequel le catalyseur est sensible aux impuretés. D'un autre côté, ce peut être le produit le plus adsorbable qu'il est utile de récupérer, comme par exemple l'éthylène à partir d'une charge pour obtenir un produit riche en éthylène.

Dans les cas les plus classiques de PSA, une charge multi-composants gazeuse est introduite dans au moins un des lits d'adsorbants à une pression effective élevée pour adsorber au moins un des constituants (la fraction adsorbée), pendant que les autres constituants (la fraction non adsorbée) passent au travers du lit sans être retenus. À un temps pré-défini, le flux de charge vers cet adsorbeur est interrompu et le lit est dépressurisé par mise en oeuvre d'une ou de plusieurs étapes de dépressurisation en co-courant (pour le sens de l'écoulement, on se référera toujours dans la présente description à celui de l'adsorption), jusqu'à atteindre un niveau de pression pré-défini. Cela permet aux composés les moins adsorbables ou à ceux restant dans la zone d'adsorption (volumes interstitiels) d'être évacués sans être mélangés au constituant le plus adsorbable. Le gaz récupéré pendant ces étapes de dépressurisation est en général utilisé pour réaliser les étapes d'égalisation de pression ou de balayage ultérieures. Dans l'art antérieur et dans la présente description, le vocable "égalisation de pression" est utilisé pour décrire la connexion d'un adsorbeur haute pression avec un adsorbeur basse pression, réalisée jusqu'à ce que soit atteint le même niveau de pression dans les deux adsorbeurs. Le lit est ensuite dépressurisé à contre-courant et souvent balayé pour désorber le composé de la charge le plus fortement adsorbé et pour évacuer ce gaz du lit avant les étapes de pressurisation puis d'adsorption. De tels procédés sont décrits par exemple dans le brevet US-A-3 430 418 ou dans l'ouvrage plus général de R.T. Yang : "Gas Separation by Adsorption Processes", Boston, Butterworth (1987), dans lequel des cycles basés sur l'utilisation de plusieurs lits sont décrits en détail. En général, et tel que c'est décrit dans les ouvrages mentionnés, les procédés de type PSA sont mis en oeuvre de façon séquentielle et par utilisation alternative de tous les lits d'adsorption.

Les sélectivités qui sont employées dans les procédés PSA s'appuient sur trois mécanismes de base : la sélectivité diffusionnelle, la sélectivité de forme (ou exclusion) et la sélectivité énergétique.

Dans le cas de la sélectivité diffusionnelle, la force motrice pour la séparation est la différence de vitesse d'adsorption, de désorption et de diffusion des différents composés dans le mélange de gaz à séparer.

Dans le cas de sélectivité de forme (ou géométrique), la séparation se fait sur la base de la taille des différentes molécules à séparer par rapport à celle des micro-pores de l'adsorbant. Les molécules les plus grosses ne pénètrent pas la porosité de l'adsorbant, tandis que les plus petites s'adsorbent : on parle d'effet de tamisage et la dimension des pores de l'adsorbant détermine quels sont les composés qui s'adsorbent et ceux qui ne s'adsorbent pas.

Pour ce qui concerne la sélectivité énergétique, c'est l'affinité de l'adsorbant ou les forces relatives d'adsorption pour l'un ou l'autre des composés qui contrôlent la séparation. Le composé le moins fortement adsorbé devient la fraction non adsorbable et le plus fortement adsorbé devient la fraction adsorbable.

Dans le cas des procédés basés sur des sélectivités diffusionnelles ou géométriques, la vitesse de transfert de

matière a une importance sur l'efficacité et la taille des lits. Compte tenu de ce phénomène, il existe un profil de concentration de l'adsorbat dans le lit au fur et à mesure que le front d'adsorption progresse dans celui-ci. Le terme "zone de transfert de matière" (abrégié en anglais "MTZ") est connu de l'homme de l'art et se réfère à la région qui contient ce profil. Dans cette région, la concentration en adsorbat est nulle à une extrémité (vers la sortie du lit) et égale à celle dans la charge à l'autre (vers l'entrée de la charge). Dans le but de produire un flux à haute pression et haute pureté, le cycle d'adsorption du PSA est déterminé de telle sorte que cette zone de transfert de matière ne sorte pas du lit. Il en résulte que l'adsorbant dans la MTZ n'est pas saturé à sa capacité d'équilibre et qu'il y a donc une perte d'efficacité du système. De nombreux travaux ont porté sur la réduction de la zone de transfert de matière par action sur les paramètres hydrodynamiques du système. De la réduction de cette zone de transfert de matière et donc de la partie inutilisée du lit, résulte une diminution de l'inventaire sur l'adsorbant et donc de la taille des lits.

Un objet de l'invention est de fournir un moyen de diminuer la taille du lit, ou inversement d'augmenter la capacité dynamique de l'adsorbant, dans le cas des procédés classiques de PSA utilisant une sélectivité de type géométrique. Cette augmentation de capacité est réalisée sans (ou à moindre) augmentation d'investissement ou de coûts opératoires.

Il a en effet été découvert que la quantité de tamis à mettre en jeu, pour une séparation donnée, pouvait être diminuée par un arrangement judicieux des séquences. Cette augmentation des performances peut être analysée de différentes façons : soit en termes d'augmentation de capacité dynamique, soit en termes d'augmentation de VVH (vitesse volumique horaire) à performance fixée. Elle est due au fait que, compte tenu de l'arrangement des séquences subies par les différents adsorbants, qui seront décrites ci-après, le lit en fin d'adsorption est complètement saturé par le (ou les) composé(s) adsorbable(s), c'est-à-dire que la zone de transfert de matière est sortie de l'adsorbant avant que celui-ci soit régénéré.

Le procédé de la présente invention peut s'appliquer à l'obtention d'un mélange riche en iso-paraffines conduisant à un produit à haut indice d'octane, à partir d'un mélange contenant également des paraffines normales.

Le procédé de l'invention est décrit ci-après en liaison avec le tableau 1 qui suit et les figures 1 à 12, qui illustrent respectivement les séquences de 1 à 12.

L'invention fournit donc un procédé de séparation de n-paraffines et d'iso-paraffines à partir d'un mélange en contenant, par adsorption en phase gazeuse des n-paraffines, ce procédé utilisant quatre adsorbants, qui seront numérotés dans la suite de 1 à 4, ayant substantiellement la même taille et fonctionnant selon au moins un cycle d'étapes qui sera décrit ci-après en référence à l'adsorbant 2 des figures 1 à 12. Le mélange traité provient plus particulièrement d'une isomérisation d'hydrocarbures en C5/C6.

TABLEAU I

SÉQUENCE	1	2	3	4	5	6	7	8	9	10	11	12
LIT 1	A/F	DP1	DP2	S1	STRIPPAGE		S2	RP1	RP2	F	ADSORPTION	
LIT 2	F	ADSORPTION		A/F	DP1	DP2	S1	STRIPPAGE		S2	RP1	RP2
LIT 3	S2	RP1	RP2	F	ADSORPTION		A/F	DP1	DP2	S1	STRIPPAGE	
LIT 4	S1	STRIPPAGE		S2	RP1	RP2	F	ADSORPTION		A/F	DP1	DP2

Dans la description qui suit, on utilisera indifféremment les termes "lit" ou "adsorbeur" pour désigner les lits d'adsorption, même lorsque le lit considéré n'est pas en phase d'adsorption.

Le cycle caractéristique du procédé de l'invention peut être défini comme suit.

5 a) Séquence 1 : Dans une étape d'adsorption (F), on fait circuler en courant ascendant sur l'adsorbeur 2 une charge constituée de l'effluent de l'adsorbeur qui le précède (adsorbeur 1). Pour cela, on connecte en série la sortie de l'adsorbeur 1, en phase d'adsorption, avec le bas de l'adsorbeur 2, par la ligne 1. Le fluide circule en courant ascendant dans les deux adsorbeurs. Le produit riche en iso-paraffines est récupéré en partie haute de l'adsorbeur 2 par la ligne 2.

10 b) Séquence 2 : Dans une étape d'adsorption (ADS), on injecte directement la charge en courant ascendant au bas de l'adsorbeur 2 par la ligne 3. Le produit riche en isoparaffines est récupéré en partie haute de l'adsorbeur 2 par la ligne 2.

15 c) Séquence 3 : On poursuit l'opération d'adsorption (ADS) et, par la ligne 4, on prélève, sur la ligne 2, une partie du fluide de sortie riche en isoparaffines pour réaliser la seconde étape de pressurisation RP2 de l'adsorbeur suivant 3 en courant ascendant.

20 d) Séquence 4 : On continue l'étape d'adsorption (A/F) et l'on connecte, par la ligne 4, l'extrémité haute de l'adsorbeur 2 au bas de l'adsorbeur suivant (adsorbeur 3), précédemment en phase de seconde pressurisation. Au cours de cette étape, l'adsorbeur 2 recevant la charge par la ligne 3 se trouve saturé en n-paraffines et la zone de transfert de matière se déplace vers l'adsorbeur suivant 3, connecté en série.

25 e) Séquence 5 : On effectue une première dépressurisation (DP1) en connectant par le bas, par la ligne 5, l'adsorbeur 2 fonctionnant à haute pression avec l'adsorbeur 4 ayant terminé son étape de balayage à une pression plus faible. On obtient ainsi un équilibrage de la pression dans les adsorbeurs 2 et 4. L'adsorbant dans l'adsorbeur 2 est donc totalement saturé à l'équilibre de la charge.

30 f) Séquence 6 : On réalise une seconde dépressurisation (DP2), l'extrémité supérieure de l'adsorbeur 2 étant fermée: si la charge traitée par le procédé provient d'une unité d'isomérisation, par exemple d'hydrocarbures en C5/C6, on peut connecter le bas de l'adsorbeur 2, par la ligne 6, avec le circuit de recyclage vers l'isomérisation, maintenu à basse pression.

35 g) Séquence 7 : Dans une première phase de balayage (S1), on relie le bas de l'adsorbeur précédent 1 au haut de l'adsorbeur 2 par la ligne 8. On injecte le désorbant par la ligne 7 en tête de l'adsorbeur 1 en fin de balayage (S2); l'effluent qui en sort est alors relativement pauvre en fraction adsorbable. La phase de balayage (S1) a lieu en général à une pression inférieure à 5 bars et de préférence inférieure à 3 bars absolus et s'effectue à contre-courant par rapport à l'étape d'adsorption. Le produit sortant par la ligne 6 de l'adsorbeur 2 consiste essentiellement une fraction riche en n-paraffines. Si la charge traitée par le procédé provient d'une unité d'isomérisation, par exemple d'hydrocarbures en C5/C6, on peut recycler cet effluent vers l'unité d'isomérisation.

40 h) Séquences 8 et 9 : Dans l'étape principale de balayage (STR), on alimente uniquement l'adsorbeur 2 par le désorbant en écoulement descendant, par la ligne 9. Dans ce cas également, on peut recycler l'effluent sortant par la ligne 6 vers l'unité d'isomérisation.

45 i) Séquence 10 : Dans l'étape de finition du balayage (S2), on continue à alimenter en désorbant l'adsorbeur 2, par la ligne 9, mais on connecte la sortie de l'adsorbeur 2 à l'adsorbeur suivant 3, qui amorce la phase de désorption (S1).

50 j) Séquence 11 : On réalise une pressurisation (RP1) de la pression basse à une pression intermédiaire en connectant les adsorbeurs 2 et 4 par le bas par la ligne 11.

55 k) Séquence 12 : Enfin, on réalise une seconde pressurisation (RP2) jusqu'à la pression d'adsorption au moyen d'un flux provenant par la ligne 12 en partie de l'effluent de l'adsorbeur précédent 1, qui fonctionne dans une étape d'adsorption (ADS). Le fluide est introduit en partie basse de l'adsorbeur 2 pour éviter de polluer le lit si ce fluide n'est pas parfaitement exempt de produits adsorbables.

En résumé, les n-paraffines sont adsorbées à haute pression (étapes F et ADS) et désorbées à pression plus

faible par mise en jeu d'un effet d'abaissement de la pression, combiné à un effet d'élimination par "balayage" à l'aide d'un flux gazeux riche en iso-paraffines. Le désorbant peut contenir une proportion de n-paraffines comprise entre 0 et 20 %.

Le lit adsorbant est constitué en général d'un tamis moléculaire à base de zéolithe capable d'adsorber sélectivement les n-paraffines et ayant un diamètre apparent de pores voisin de 5 Angströms. La zéolithe 5A convient pour cet usage: son diamètre de pores est proche de 5 Å et sa capacité d'adsorption pour les n-paraffines est importante. On peut cependant employer d'autres adsorbants tels que la chabazite ou l'érionite.

Les conditions opératoires préférées sont des températures de 100 à 400°C et plus, préférentiellement de 200 à 300°C, et une pression d'adsorption de 5 à 40 bars et plus, préférentiellement de 15 à 25 bars. Le cycle d'adsorption dure en général de 2 à 15 minutes et préférentiellement de 4 à 6 minutes.

L'exemple 1 qui suit, non limitatif, illustre l'invention. L'exemple 2 est donné à titre comparatif.

### Exemple 1

Le procédé de l'invention est mis en oeuvre dans une unité comportant quatre adsorbeurs identiques effectuant le cycle précédemment décrit.

Les adsorbeurs sont des cylindres de 0.053 m de diamètre interne et de 4.77 m de hauteur, contenant chacun 8,05 kg de tamis 5A. La charge et le désorbant sont introduits à une température maintenue à 215°C.

La charge est constituée d'un naphta léger et provient de l'isomérisation d'une coupe pétrolière en C5/C6 ayant la composition massique suivante :

Constituant	% masse
Isobutane (iC4)	1,39
Normal butane (nC4)	1,02
Isopentane (iC5)	27,99
Normal pentane (nC5)	11,2
2,2-diméthylbutane (22 DMB)	11,3
2,3-diméthylbutane (23 DMB)	4,8
2-méthylpentane (2 MC5)	14,6
3-méthylpentane (3 MC5)	8,7
Normal hexane (nC6)	6,1
Cyclopentane (CC5)	2,0
Méthylcyclopentane (MC5)	5,7
Cyclohexane (CC6)	5,2
TOTAL	100,00

La charge et le désorbant alimentent l'unité de séparation sous contrôle de débit et les effluents sont recueillis sous contrôle de pression.

Le débit de charge est de 19,65 kg/h, son indice d'octane (RON) est de 81,6.

Le débit de désorbant est égal à 6,74 kg/h ; sa composition massique figure ci-après :

Constituant	% masse
Isobutane (iC4)	4,25
Normal butane (nC4)	3,39
Isopentane (iC5)	92,26
Normal pentane (nC5)	0,1
TOTAL	100,00

La pression d'adsorption est comprise entre 17,7 et 17,1 bars absolus, tandis que la pression de désorption est de 2,6 bars absolus.

La durée en secondes des différentes séquences du cycle est indiquée pour un quart du cycle dans le tableau suivant :



Séquence	1	2	3
lit 1	AVF	DP1	DP2
lit 2	F	ADS	ADS
lit 3	S2	RP1	RP2
lit 4	S1	STR	STR
durée (en s)	60	40	100

La durée globale de la phase d'adsorption pour un même lit est égale à la somme des séquences F et ADS, soit ici 200 secondes. Cette somme correspond également à la durée totale de désorption pour un adsorbant donné, somme des séquences STR et S1.

On peut noter que, du fait que le désorbant alimente toujours un adsorbant, il n'est pas nécessaire de prévoir une vanne de "by-pass" de l'unité (comme dans le cas de l'exemple comparatif 2 présenté ci-après).

Les bilans de l'unité sont réalisés à l'état cyclique convergé, c'est-à-dire tel que deux bilans successifs conduisent au même résultat.

L'effluent riche en iso-paraffines est désigné par "IPSORBAT". Il a une composition massique moyenne cumulée sur une heure de fonctionnement donnée ci-dessous :

Constituant	% masse
Isobutane (iC4)	1,32
Normal butane (nC4)	1,81
Isopentane (iC5)	36,49
Normal pentane (nC5)	1,13
2.2-diméthylbutane (22 DMB)	12,67
2.3-diméthylbutane (23 DMB)	5,38
2-méthylpentane (2 MC5)	16,38
3-méthylpentane (3 MC5)	9,77
Normal hexane (nC6)	0,59
Cyclopentane (CC5)	2,24
Méthylcyclopentane (MC5)	6,39
Cyclohexane (CC6)	5,83
TOTAL	100,00

Le débit d'"IPSORBAT" est de 14,17 kg/h ; ce produit a un indice d'octane (RON) de 88,0.

**Exemple 2 (comparatif)**

La différence avec l'exemple précédent réside dans l'emploi de trois adsorbants au lieu de quatre et l'unité fonctionne selon un cycle connu, décrit ci-après en liaison avec le tableau 2 et les figures 13 à 21, qui illustrent respectivement les séquences de 1 à 9.

TABLEAU 2

SÉQUENCE	1	2	3	4	5	6	7	8	9
LIT 1	ADS	ADS	ADS	DP1	DP2	STR	RP1	RP2	RP2
LIT 2	RP1	RP2	RP2	ADS	ADS	ADS	DP1	DP2	STR
LIT 3	DP1	DP2	STR	RP1	RP2	RP2	ADS	ADS	ADS
Durée (en s)	40	50	110	40	50	110	40	50	110



## EP 0 820 972 A1

Le cycle suivi par chaque adsorbeur se déroule selon neuf séquences. Ces séquences sont identiques pour les trois adsorbeurs, mais elles sont décalées dans le temps d'une durée égale au tiers de la durée globale du cycle. Par exemple, le lit 1 effectuera les séquences suivantes :

- une séquence 1 dans laquelle on réalise une étape d'adsorption (ADS) à haute pression en introduisant la charge en bas du lit 1 par la ligne 20 et en la faisant passer en courant ascendant à travers ledit lit, le produit sortant en tête par la ligne 21 ;
- deux séquences 2 et 3 dans lesquelles on poursuit l'étape d'adsorption (ADS) en courant ascendant et on récupère sur l'effluent sortant de l'adsorbeur 1 par la ligne 21 une partie que l'on envoie par la ligne 22 vers l'adsorbeur suivant 2, pour en effectuer la seconde pressurisation (RP2) ;
- une séquence 4 dans laquelle on réalise une étape d'équilibrage de pression (DP1) en connectant par leurs extrémités hautes par la ligne 23 l'adsorbeur 1 avec l'adsorbeur 3 en fin de balayage (STR) pour en amorcer la repressurisation ;
- une séquence 5 dans laquelle on réalise une seconde dépressurisation (DP2) en connectant la partie basse de l'adsorbeur 1 avec le circuit de recyclage vers l'isomérisation par la ligne 24 ;
- une séquence 6 dans laquelle on réalise une étape de balayage (STR) en introduisant le désorbant en courant descendant sur le lit 1 par la ligne 25, l'effluent de sortie contenant les n-paraffines adsorbées étant recyclée par la ligne 24 vers l'unité d'isomérisation ;
- une séquence 7 dans laquelle on réalise une étape de pressurisation (RP1) par mise en connexion du lit 1 avec le lit 2 par la ligne 26 ; et
- deux séquences 8 et 9 dans lesquelles on réalise une étape de seconde pressurisation (RP2) en reliant par la ligne 27 le lit 1 avec le lit 3, qui fonctionne alors dans une étape d'adsorption (ADS).

Chaque adsorbeur a un diamètre interne 0,053 m et une hauteur de 6,36 m et contient 10,7 kg de tamis 5A. On utilise donc la même masse totale de tamis. Les compositions ainsi que les débits de charge et de désorbant sont les mêmes que dans l'exemple 1 selon l'invention. Il en est de même pour leurs températures d'entrée.

Les pressions d'adsorption sont comprises entre 17,7 et 17,4 bars absolus et la pression de désorption est de 2,6 bars absolus.

La durée des différentes séquences du cycle est indiquée dans le tableau 2, un cycle s'effectuant en 600 secondes. On notera que le temps des séquences d'adsorption et d'équilibrage de pression (DP1/RP1) sont les mêmes que dans l'exemple 1 selon l'invention. Cependant, il est nécessaire de prévoir un "by-pass" de l'unité pendant les séquences où le désorbant n'est pas utilisé (DP1/DP2).

L'effluent recueilli dans le procédé, riche en iso-paraffines a une composition massique moyenne cumulée sur une heure de fonctionnement donnée ci-dessous :

Constituant	% masse
Isobutane (iC4)	1,78
Normal butane (nC4)	1,31
Isopentane (iC5)	36,08
Normal pentane (nC5)	2,45
2,2- diméthylbutane (22 DMB)	12,33
2,3-diméthylbutane (23 DMB)	5,24
2-méthylpentane (2 MC5)	15,93
3-méthylpentane (3 MC5)	9,50
Normal hexane (nC6)	1,31
Cyclopentane (CC5)	2,18
Méthylcyclopentane (MC5)	6,22
Cyclohexane (CC6)	5,67
TOTAL	100,00

Le débit d'"IPSORBAT" est de 13,77 kg/h et a un indice d'octane (RON) de 37,3.

La comparaison des résultats de l'exemple 1 selon l'invention et de l'exemple comparatif 2 montre que le gain d'octane est plus important si l'on procède selon l'invention, puisque, dans ce dernier cas, on obtient un indice d'octane de 38,0.

## Revendications

1. Procédé de séparation par adsorption en phase gazeuse de n-paraffines et d'iso-paraffines à partir d'une charge d'hydrocarbures provenant d'une étape d'isomérisation, ledit procédé étant caractérisé en ce qu'il utilise quatre adsorbants, numérotés de 1 à 4, ayant substantiellement la même taille et fonctionnant chacun selon au moins un cycle d'étapes qui, décrit en référence à l'adsorbant 2, comprend :

a) une séquence 1 dans laquelle on réalise une étape d'adsorption (F), en faisant circuler en courant ascendant sur l'adsorbant 2 une charge constituée de l'effluent de l'adsorbant 1 qui le précède, en connectant en série la sortie de l'adsorbant 1, en phase d'adsorption, avec le bas de l'adsorbant 2 ;

b) une séquence 2, dans laquelle on réalise une étape d'adsorption (ADS), en injectant directement la charge en courant ascendant au bas de l'adsorbant 2 et on récupère un produit riche en iso-paraffines en partie haute de l'adsorbant 2 ;

c) une séquence 3 dans laquelle on poursuit l'opération d'adsorption (ADS) et on prélève une partie du fluide de sortie riche en iso-paraffines pour réaliser la seconde étape de pressurisation RP2 de l'adsorbant suivant 3, en courant ascendant ;

d) une séquence 4 dans laquelle on continue l'étape d'adsorption (AVF) en connectant l'extrémité haute de l'adsorbant 2 au bas de l'adsorbant suivant 3, précédemment en phase de seconde pressurisation, l'adsorbant 2 recevant la charge étant alors saturé en n-paraffines et la zone de transfert de matière se déplaçant vers l'adsorbant suivant 3, connecté en série ;

e) une séquence 5 dans laquelle on effectue une première dépressurisation (DP1) en connectant par le bas l'adsorbant 2 fonctionnant à haute pression avec l'adsorbant 4 ayant terminé son étape de balayage à une pression plus faible, obtenant ainsi un équilibrage de la pression dans les adsorbants 2 et 4 ;

f) une séquence 6 dans laquelle on réalise une seconde dépressurisation (DP2), l'extrémité supérieure de l'adsorbant 2 étant fermée ;

g) une séquence 7 dans laquelle on réalise une première phase de balayage (S1) en connectant en série le bas de l'adsorbant précédent 1 au haut de l'adsorbant 2, en injectant le désorbant en tête de l'adsorbant 1 en fin de balayage (S2), l'effluent qui en sort étant alors relativement pauvre en fraction adsorbable, le produit de sortie de l'adsorbant 2 consistant essentiellement en une fraction riche en n-paraffines ;

h) deux séquences 8 et 9 dans lesquelles on réalise l'étape principale de balayage (STR) en alimentant uniquement l'adsorbant 2 par le désorbant en écoulement descendant ;

i) une séquence 10 dans laquelle on réalise une étape de finition du balayage (S2) en continuant à alimenter en désorbant l'adsorbant 2 et en connectant la sortie dudit adsorbant 2 à l'adsorbant suivant 3, qui amorce la phase de désorption (S1) ;

j) une séquence 11 dans laquelle on réalise une pressurisation (RP1) de la pression basse à une pression intermédiaire en connectant les adsorbants 2 et 4 par le bas ; et

k) une séquence 12 dans laquelle on réalise une seconde pressurisation (RP2) jusqu'à la pression d'adsorption au moyen d'un flux provenant en partie de l'effluent de l'adsorbant précédent 1, qui fonctionne dans une étape d'adsorption (ADS), le fluide étant introduit en partie basse de l'adsorbant 2.

2. Procédé selon la revendication 1 caractérisé en ce que, dans les séquences 7 à 10, le balayage est effectué à l'aide d'un flux gazeux riche en iso-paraffines.

3. Procédé selon la revendication 2 caractérisé en ce que le désorbant contient une proportion de n-paraffines comprise entre 0 et 20 %.

4. Procédé selon l'une des revendications 1 à 3 caractérisé en ce que le lit adsorbant est constitué d'un tamis moléculaire à base de zéolithe capable d'adsorber sélectivement les n-paraffines et ayant un diamètre apparent de pores voisin de 5 Angströms.

5. Procédé selon la revendication 4 caractérisé en ce que le lit adsorbant est constitué de zéolithe 5A, de chabazite ou d'érionite.

6. Procédé selon l'une des revendications 1 à 5 caractérisé en ce que l'on opère à des températures de 100 à 400°C et à une pression d'adsorption de 5 à 40 bars, le cycle d'adsorption durant de 2 à 15 minutes.

7. Procédé selon la revendication 6 caractérisé en ce que l'on opère à des températures de 200 à 300°C et à une pression d'adsorption de 15 à 25 bars, le cycle d'adsorption durant de 4 à 6 minutes.

**EP 0 820 972 A1**

8. Procédé selon l'une des revendications 1 à 7 caractérisé en ce que, dans l'étape (g), la phase de balayage est effectuée à une pression inférieure à 5 bars absolus.

5 9. Procédé selon l'une des revendications 1 à 7 caractérisé en ce que, dans l'étape (g), la phase de balayage est effectuée à une pression inférieure à 3 bars absolus.

10. Procédé selon l'une des revendications 1 à 9 caractérisé en ce que la charge traitée provient d'une unité d'isomérisation des C5/C6.

10 11. Procédé selon la revendication 10 caractérisé en ce que l'effluent de désorption de l'adsorbeur 2 est recyclé vers l'unité d'isomérisation des C5/C6, par connexion du bas de l'adsorbeur 2 avec le circuit de recyclage vers l'isomérisation, maintenu à basse pression, dans les séquences 6, 7, 8 et 9.

15

20

25

30

35

40

45

50

55

FIG.1

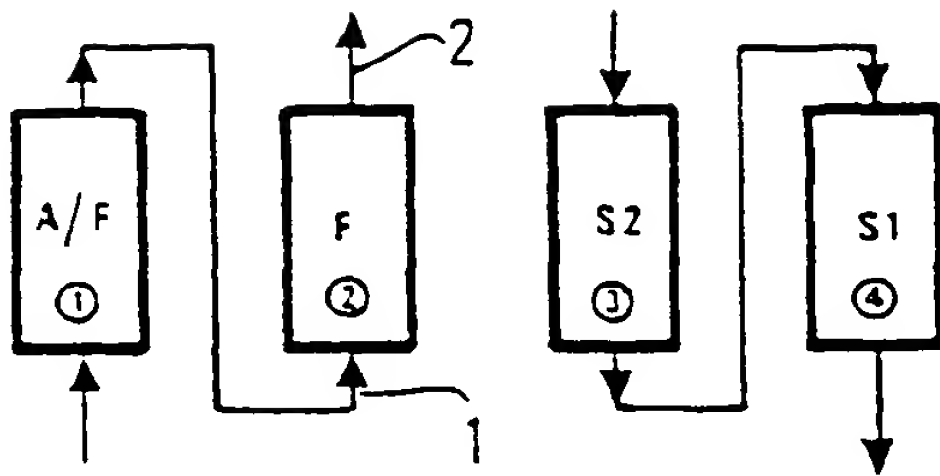


FIG.2

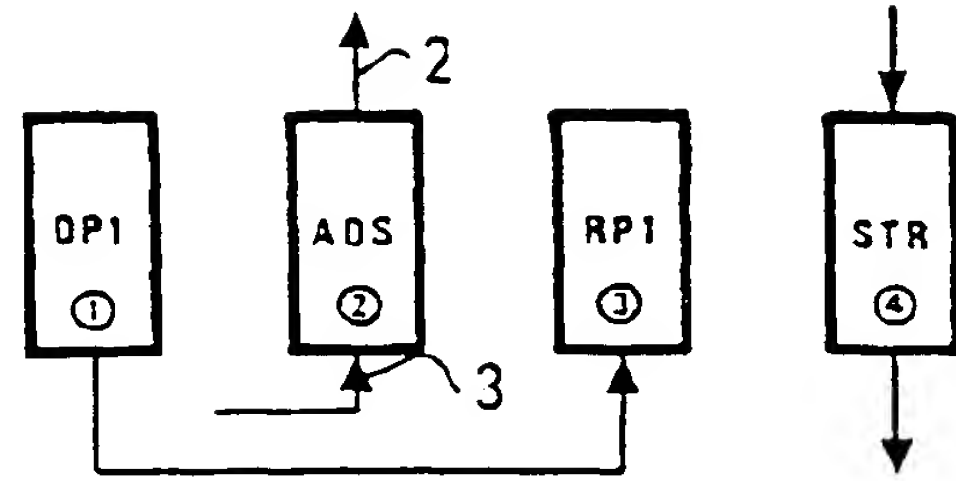


FIG.3

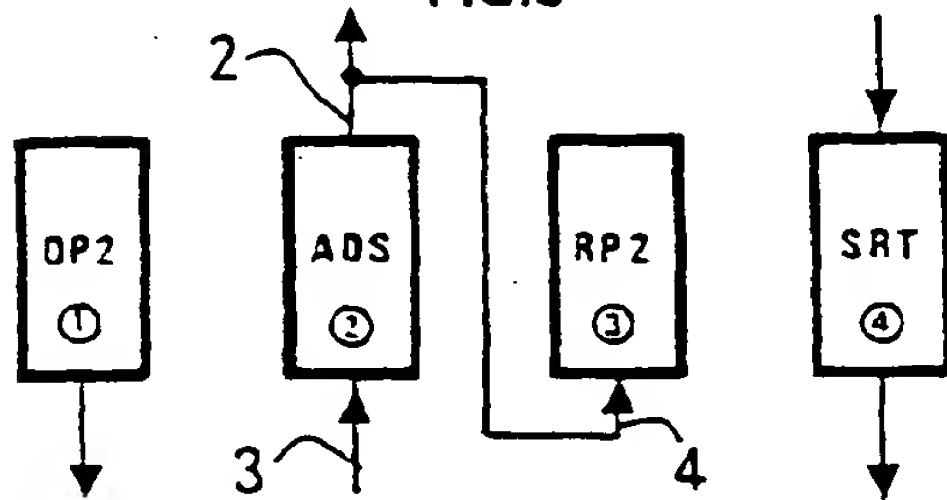


FIG.4

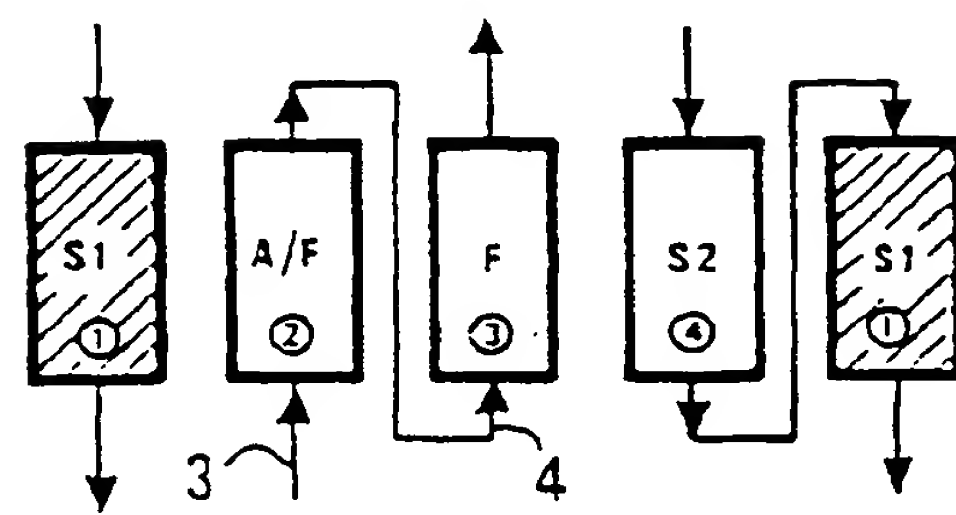


FIG.5

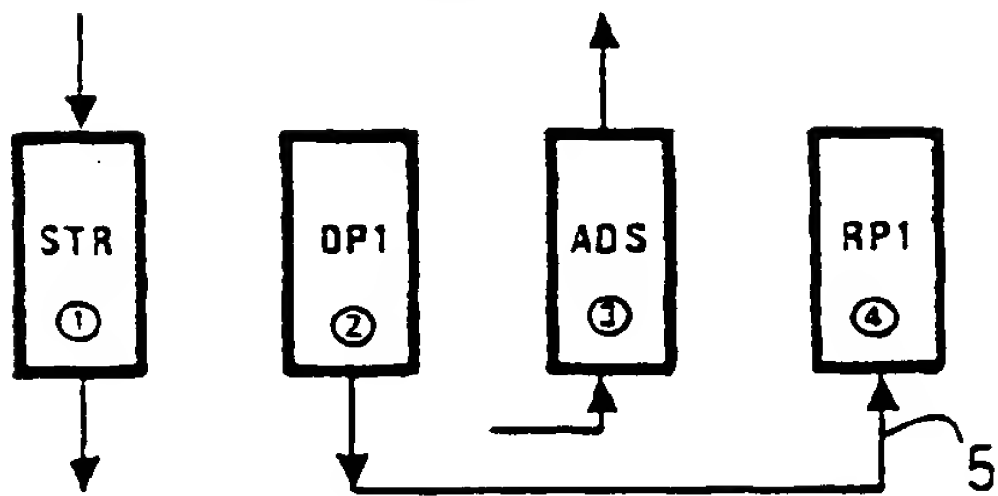


FIG.6

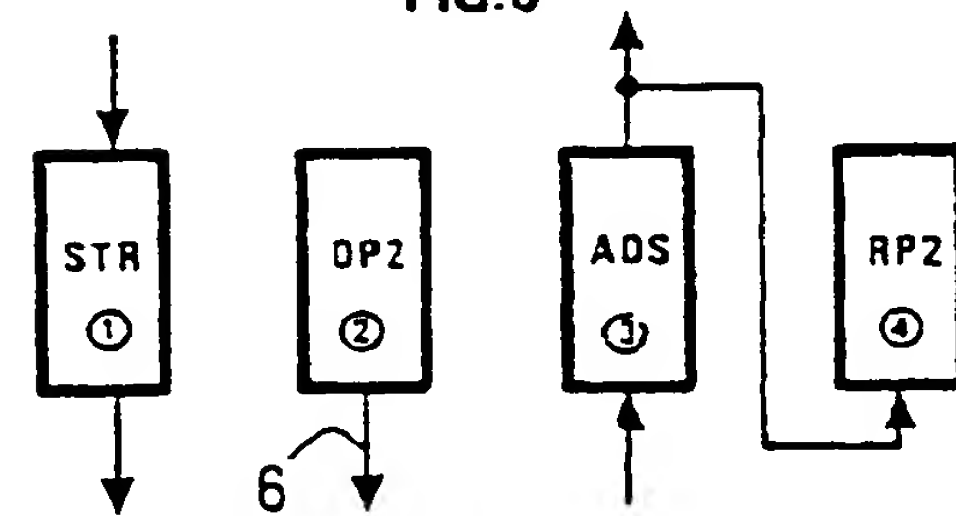


FIG.7

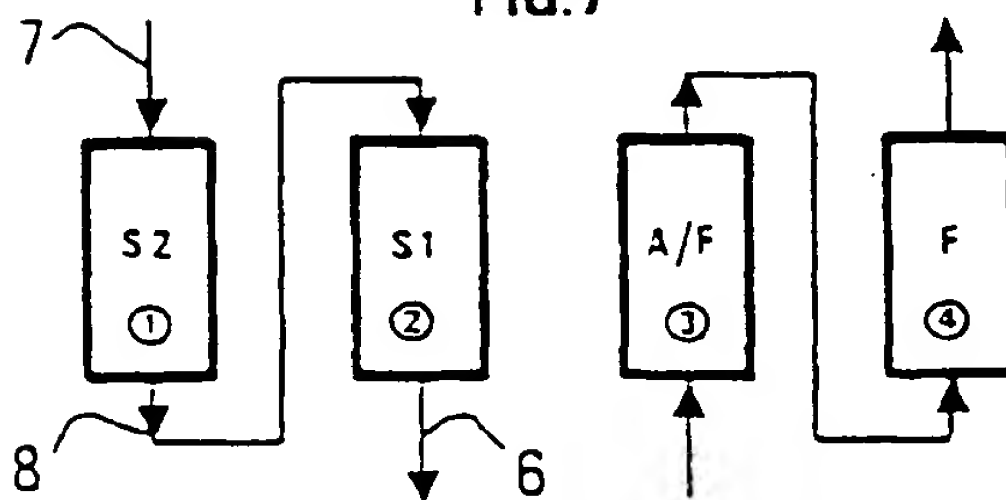
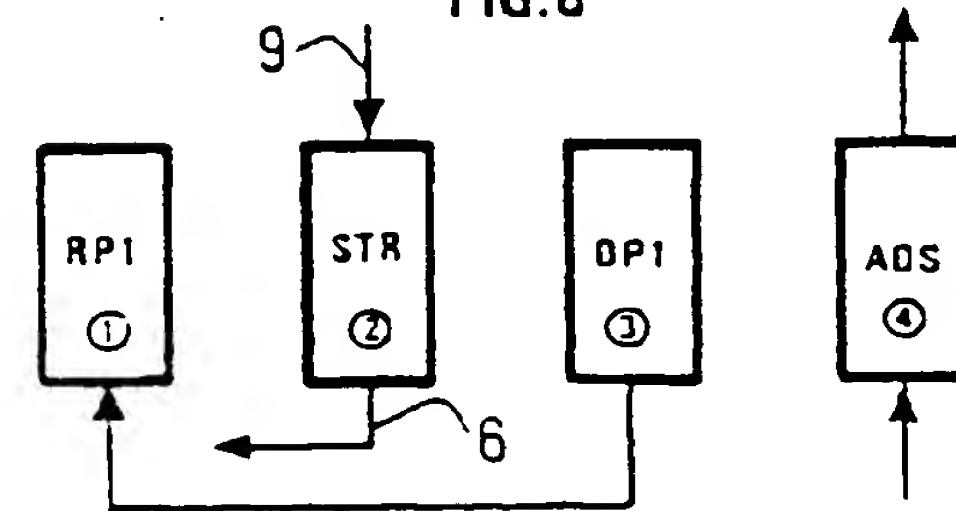


FIG.8



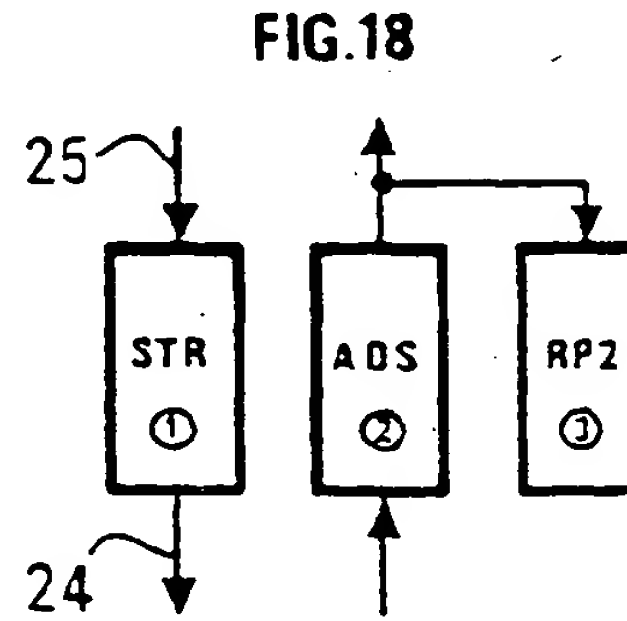
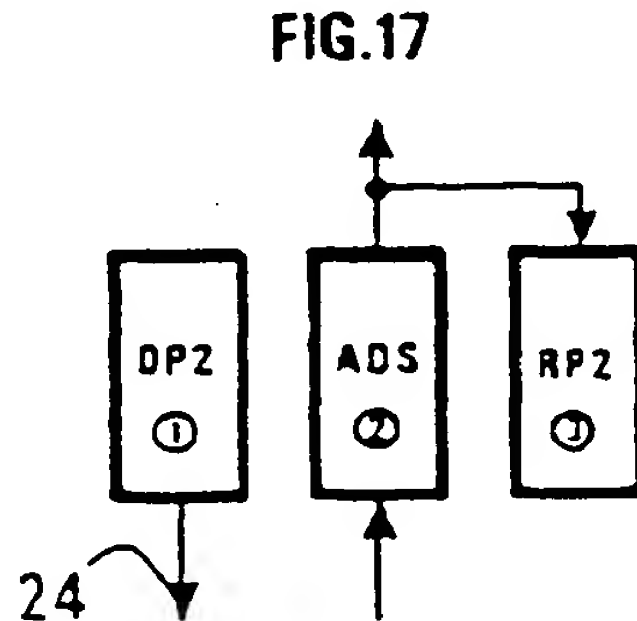
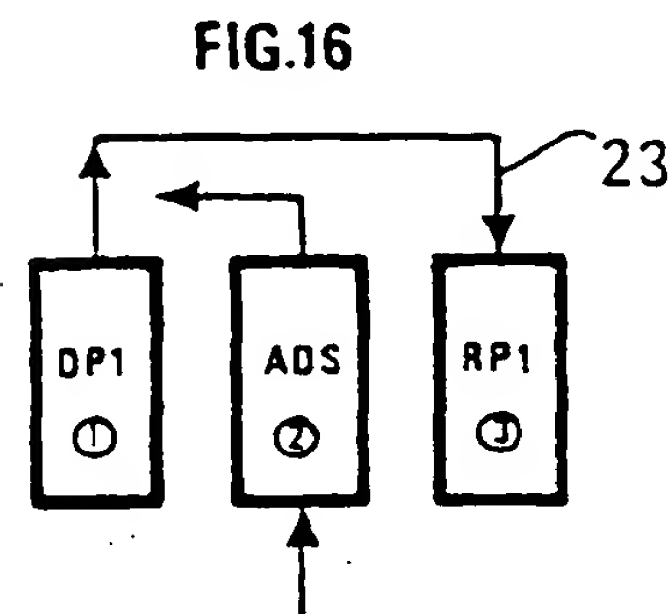
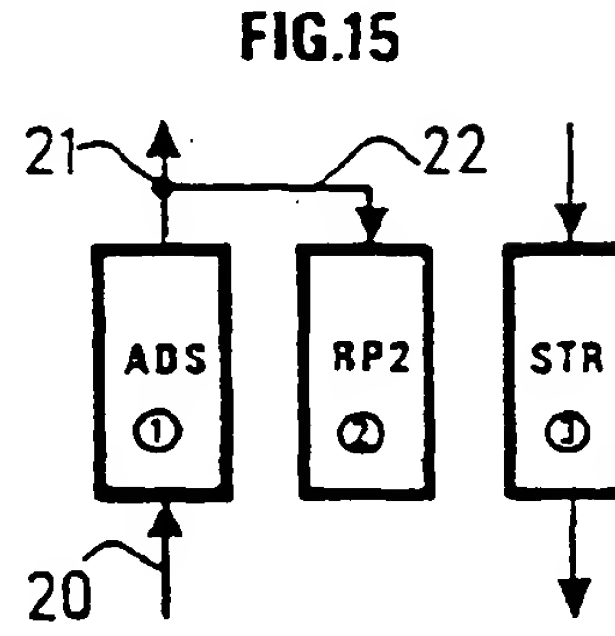
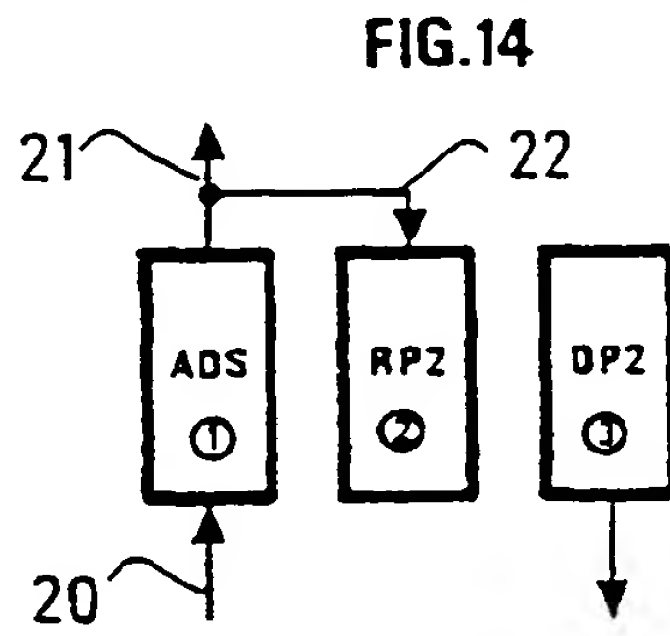
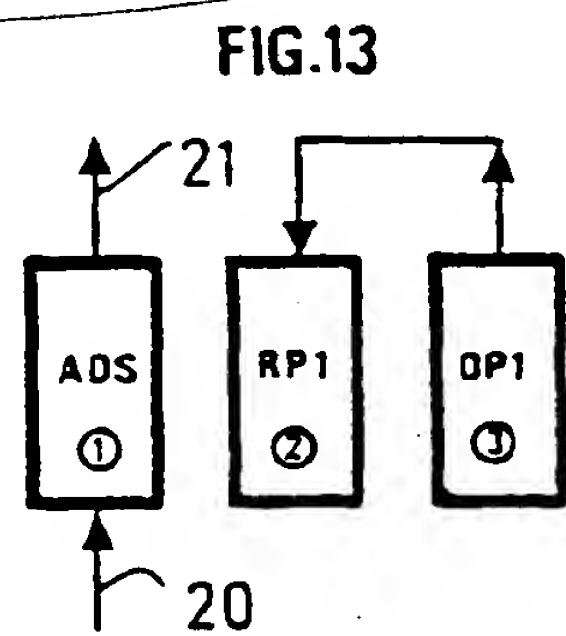
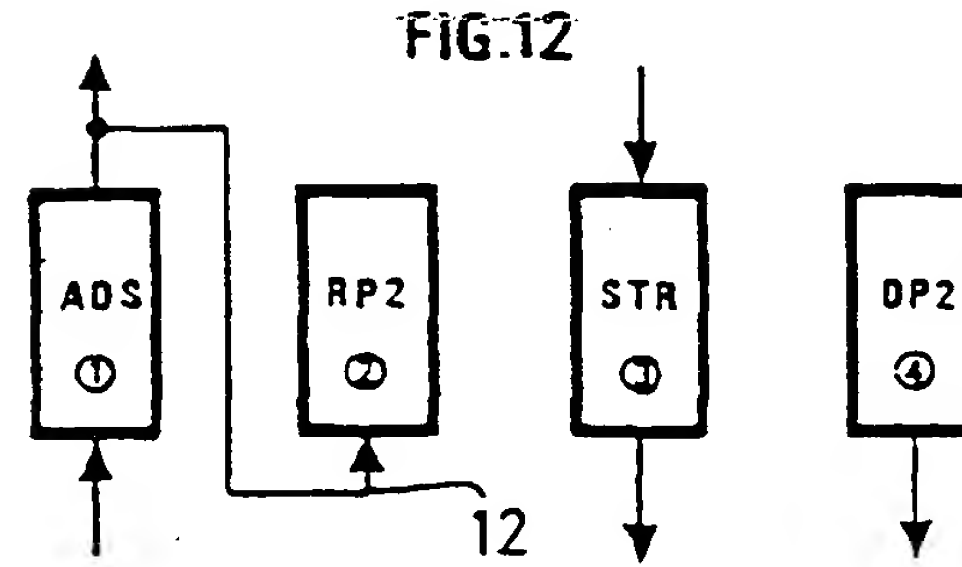
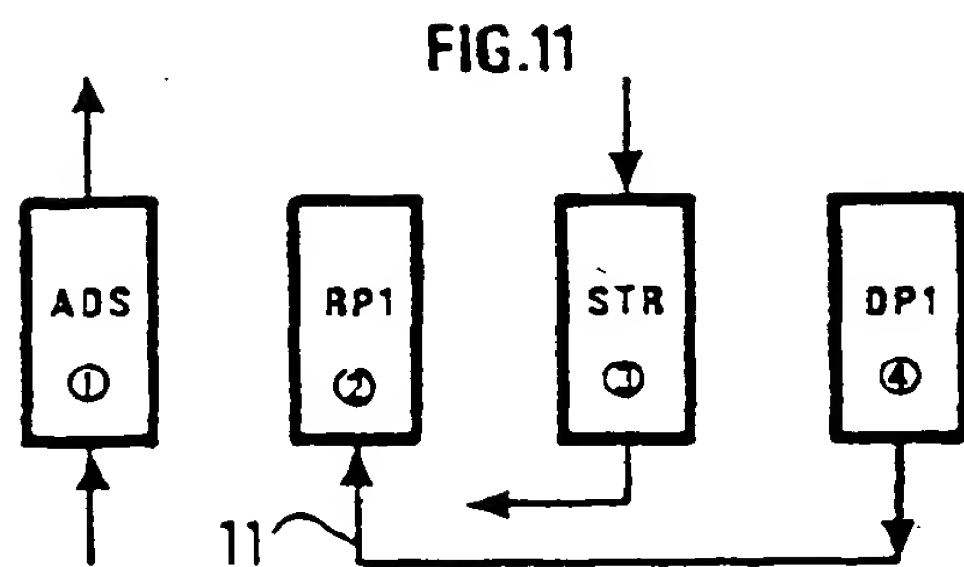
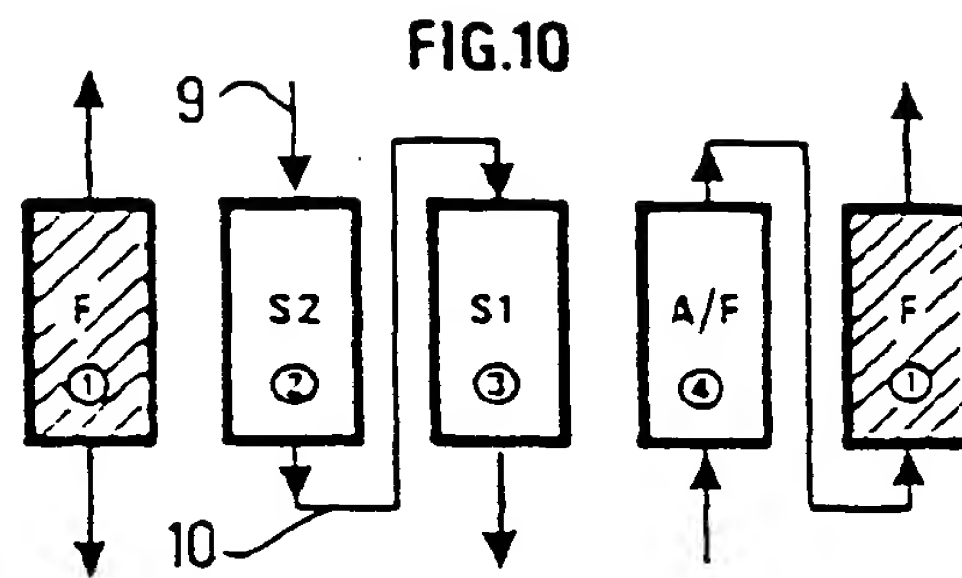
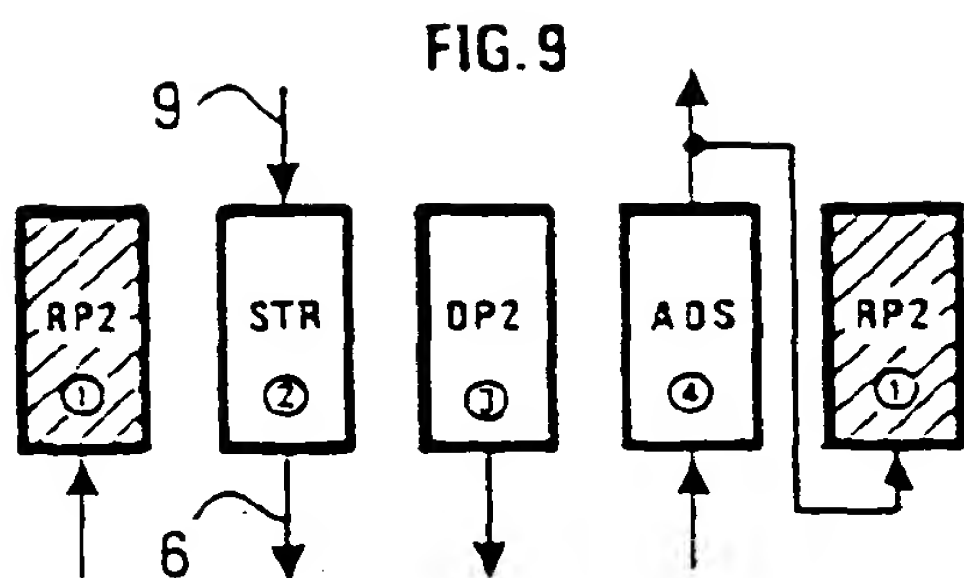


FIG.19

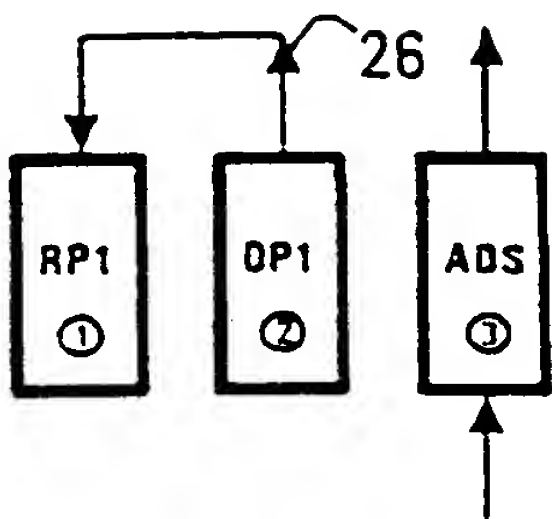


FIG.20

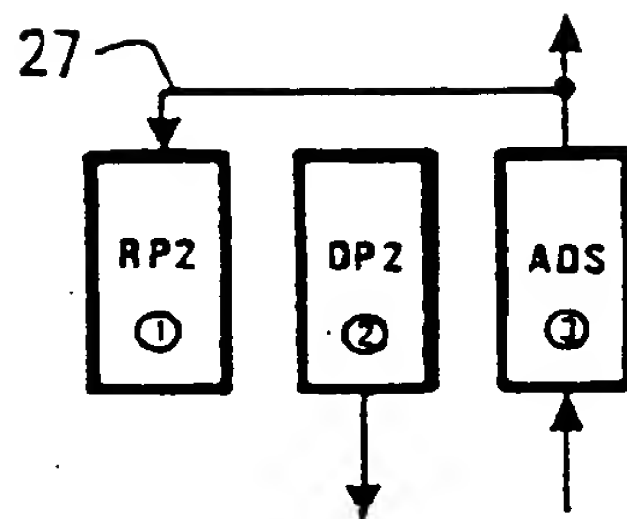
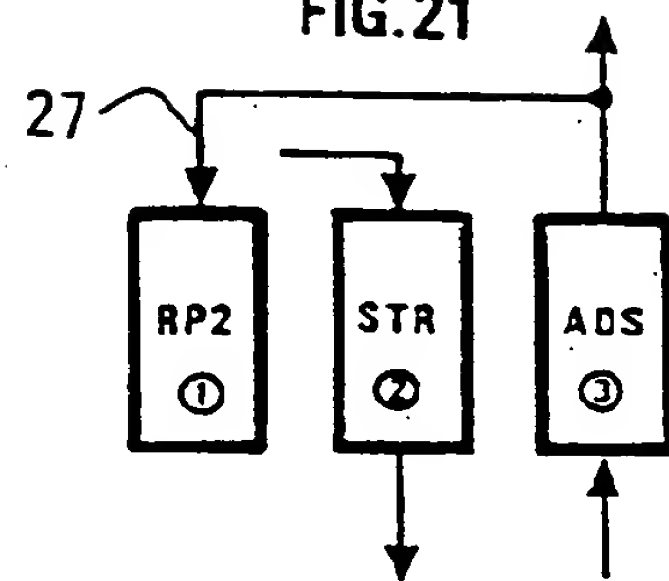


FIG.21





Office européen  
des brevets

# RAPPORT DE RECHERCHE EUROPEENNE

Numero de la demande  
EP 97 40 1438

DOCUMENTS CONSIDERES COMME PERTINENTS			
Categorie	Citation du document avec indication, en cas de besoin, des parties pertinentes	Revendication concernée	CLASSEMENT DE LA DEMANDE (Int. Cl. 6)
A	EP 0 103 070 A (BERGWERKSVERBAND GMBH) 21 mars 1984		C07C9/00 C07C7/13 //C10G25/03
A	FR 2 325 624 A (UOP INC) 22 avril 1977		
A	EP 0 006 665 A (SHELL INTERNATIONALE RESEARCH MAATSCHAPPIJ) 9 janvier 1980		
			DOMAINES TECHNIQUES RECHERCHES (Int. Cl. 6)
			C07C C10G
Le présent rapport a été établi pour toutes les revendications			
Lieu de la recherche		Date de l'établissement de la recherche	Examineur
LA HAYE		10 octobre 1997	Van Geyt, J
<p>CATEGORIE DES DOCUMENTS CITES</p> <p>X : particulièrement pertinent à lui seul Y : particulièrement pertinent en combinaison avec un autre document de la même catégorie A : artère-dan technologique O : divulgation non-écrite P : document intermédiaire</p> <p>T : théorie ou principe à la base de l'invention E : document de brevet antérieur, mais publié à la date de dépôt ou après cette date D : cité dans la demande L : cité pour d'autres raisons S : membre de la même famille, document correspondant</p>			

EP 0 820 972 A1 (1997.04.02)